

INF5490 RF MEMS

F9: RF MEMS resonatorer III

V2007, Oddvar Søråsen
Institutt for informatikk, UiO

Dagens forelesning

- Vertikalt vibrerende resonatorer
 - Clamped-clamped beam (c-c beam)
 - Virkemåte
 - → **Detaljert modellering**
 - free-free beam (f-f beam)
- Andre typer resonatorer
 - Tuning fork
 - Bjelke med lateral bevegelse
 - Disk resonatorer

Beam-resonator

- Ønsker høyere resonansfrekvens enn kamstrukturen
 - Massen må reduseres mer-> **beam resonator**
- Fordeler ved beam-resonatorer
 - Mindre dimensjoner
 - Enkel
 - Kan ha mange frekvens-referanser på en chip
 - Høyere resonansfrekvens
 - Mer lineær frekvensvariasjon mhp temp over et større område
 - Mulighet for integrering med elektronikk → lavere kostnader

Beam-resonator

First-order resonant frequency:

$$f_r = 1.03 \sqrt{\frac{E}{\rho}} \frac{t}{L^2}$$

E = Young's modulus

ρ = Density

t = Beam thickness

L = Beam length

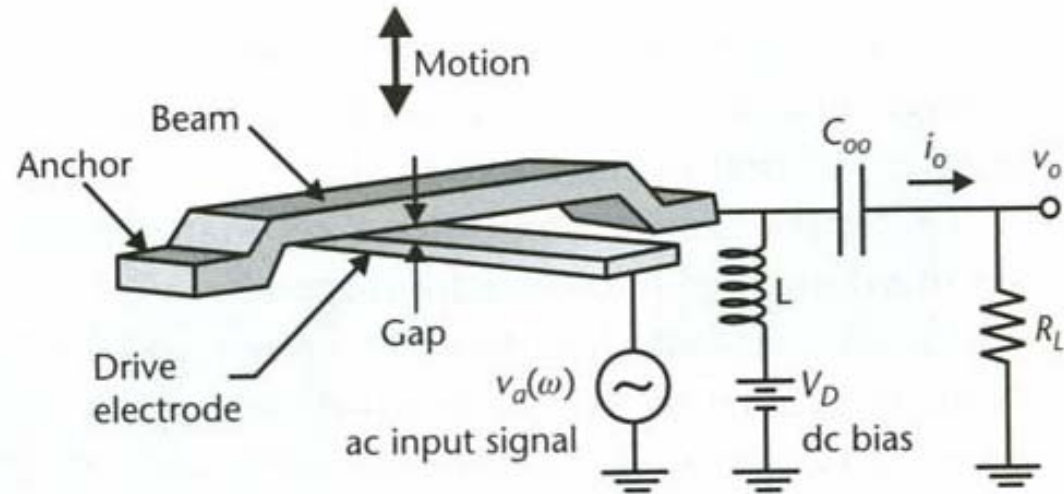


Figure 7.10 Illustration of a beam resonator and a typical circuit to measure the signal. The beam is clamped on both ends by anchors to the substrate. The capacitance between the resonant beam and the drive electrode varies with the deflection.

En-port

Utgangskrets

- Resonator er en tidsvarierende kapasitans $C(\omega)$
- Enkel elektrisk utgangskrets
 - L = shunt blokkerende induktor: Åpen ved høye frekvenser
 - C_{∞} = serie blokkerende kapasitans: Kortsluttet ved høye frekvenser
 - Når V_d er en høy DC-spenning, så er den dominerende utgangs-strømmen ved inngangsfrekvens ω : $i_0 = V_d * dC/dt$
 - Ved høye frekvenser er i_0 strømmen gjennom R_L
 - Kan være inngangsimpedans i måleutrustningen. Kan erstattes av transimp.-forsterker

First-order resonant frequency:

$$f_r = 1.03 \sqrt{\frac{E}{\rho}} \frac{t}{L^2}$$

E = Young's modulus

ρ = Density

t = Beam thickness

L = Beam length

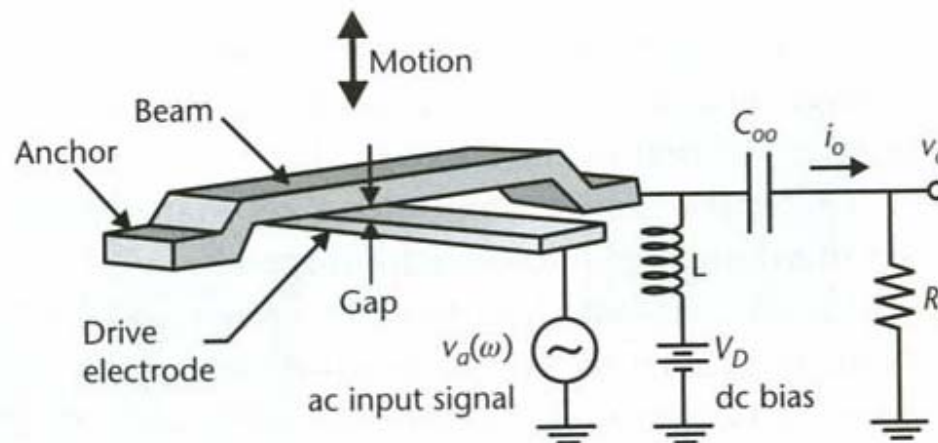


Figure 7.10 Illustration of a beam resonator and a typical circuit to measure the signal. The beam is clamped on both ends by anchors to the substrate. The capacitance between the resonant beam and the drive electrode varies with the deflection.

Mekanisk resonans-frekvens

$$f_o = \frac{1}{2\pi} \sqrt{\frac{k_r}{m_r}} = 1.03\kappa \sqrt{\frac{Eh}{\rho L_r^2}} [1 - g(V_P)]^{1/2}, \quad (12.2)$$

- Parametre
 - E = Youngs modul
 - ρ = tettheten av materialet
 - h = tykkelsen av beam
 - L_r = lengde av beam
 - g modellerer effekten av en **elektrisk fjærstivhet k_e**
 - Gjør seg gjeldende når en setter spenning på elektrodene
 - Subtraheres fra den mekaniske fjærstivheten, k_m (beam-softening)
 - κ = skaleringsfaktor (effekten av overflatens topografi, typ. 0.9)
 - V_p = DC spenning på ledende beam
 - k_r = effektiv resonator fjærstivhet
 - m_r = effektiv masse
- **NB! E og ρ inngår + fjærstivhetsledd**

Forventede frekvenser

TABLE 12.1. μ Mechanical Resonator Frequency Design^a

Frequency (MHz)	Material	Mode	h_r (μm)	W_r (μm)	L_r (μm)
70	Silicon	1	2	8	14.54
110	Silicon	1	2	8	11.26
250	Silicon	1	2	4	6.74
870	Silicon	2	2	4	4.38
870	Diamond	2	2	4	8.88
1800	Silicon	3	1	4	3.09
1800	Diamond	3	1	4	6.16

^aDetermined for free-free beams using Timoshenko methods that include the effects of finite h and W_r [11].

”Beam-softening”

- DC-spenningen, V_d , forårsaker en nedoverrettet elektrostatisk kraft
- Kraften virker mot den mekaniske gjenopprettelses-kraften i bjelken
- Dette gjør den effektive mekaniske fjærkonstanten til systemet mindre
 - Resonansfrekvensen faller med en gitt faktor
 - $\sqrt{1 - C \cdot V_d \exp^2 / (k \cdot g) \exp^2}$
 - **→ resonansfrekvensen kan tunes elektrisk!**

Detaljert modellering

- **c-c beam** modelleres med referanse til boka
 - *T. Itoh et al: RF Technologies for Low Power Wireless Communications”, kap. 12: ”Transceiver Front-End Architectures Using Vibrating Micromechanical Signal Processors”, by Clark T.-C. Nguyen*
 - (+ oppsummering av resultater fra diverse publikasjoner)

Clamped-clamped beam

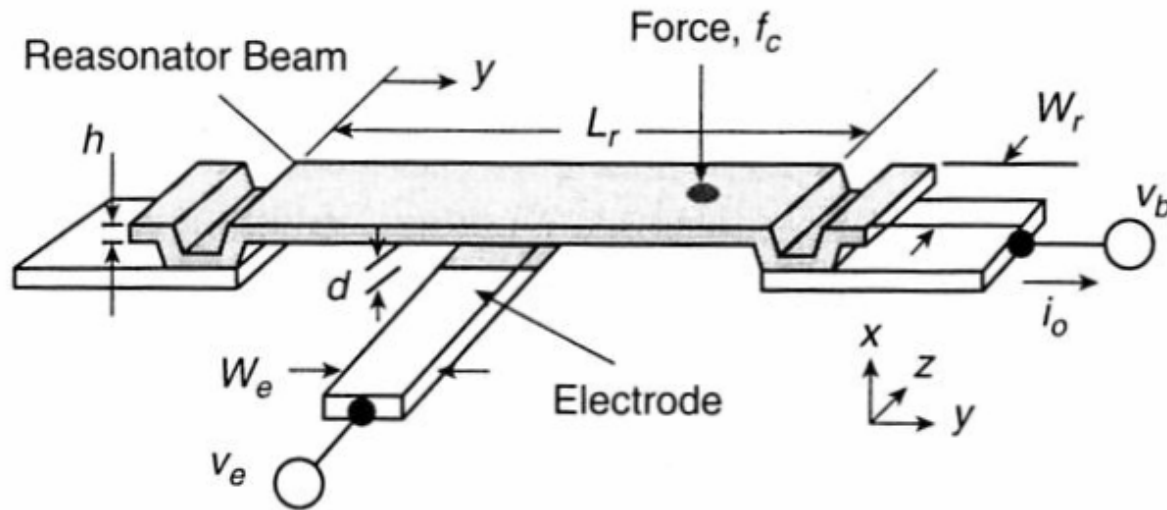


Figure 12.4. Perspective-view schematic of a clamped-clamped beam μ mechanical resonator in a general bias and excitation configuration.

Beregning av elektrisk eksitasjon

- 2 påtrykte spenninger
- **A)** Beregn først potensiell energi
- **B)** Deretter beregnes kraften →

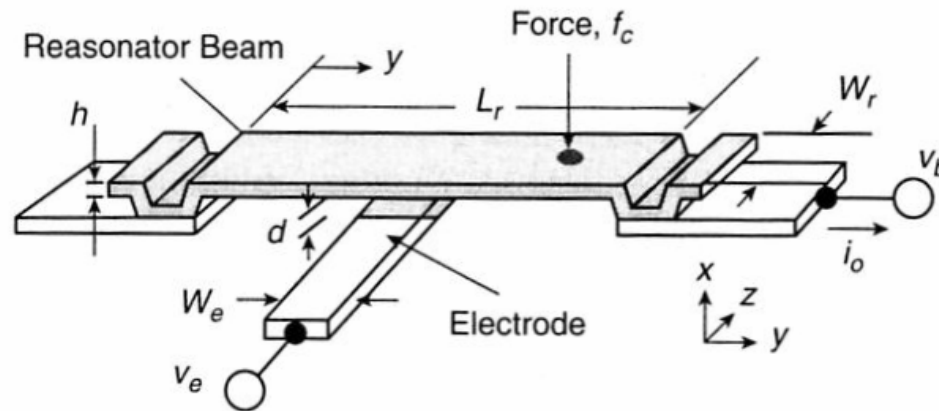


Figure 12.4. Perspective-view schematic of a clamped-clamped beam μ mechanical resonator in a general bias and excitation configuration.

Elektrisk akselerasjon

v_e = input på elektrode

v_b = input på beam

$v_e - v_b$ = effektiv spenning elektrode - bjelke

A

$$U = \frac{1}{2} C V^2 = \frac{1}{2} C (v_e - v_b)^2 = \text{pot. energi}$$

Kraft = endring mhp. x av pot energi

B

$$F_d = \frac{\partial U}{\partial x} = \frac{1}{2} (v_e - v_b)^2 \frac{\partial C}{\partial x} = \text{kraften}$$
$$= \frac{1}{2} (v_b^2 - 2 v_b \cdot v_e + v_e^2) \frac{\partial C}{\partial x}$$

$$C = \frac{\epsilon_0 A}{d_0} = \epsilon_0 \frac{W_e \cdot W_r}{d_0}$$

W_e = elektrode - bredde

W_r = beam - bredde

d_0 = elektrode - resonator gap (statistiske
betingelser i ikke-resonans)

ϵ_0 = permittivitet i vakuum

Prosedyre, forts.

- C) Sett på DC-spenning, V_p
- D) Regn videre på ligningen for kraften
- E) Diskusjon av ulike bidrag
 - Off-resonans DC-kraft
 - Kraft i takt med inngangsspenning
 - Dobbelfrekvens-ledd

Ved bruk som resonator eller filter:
DC-spenning settes på beam: V_P

C

$$V_b = V_P \quad \text{beam}$$
$$V_e = V_i = V_i \cos \omega_i t \quad \text{elektrode}$$

D

$$F_d = \frac{1}{2} (V_P^2 - 2V_P V_i \cos \omega_i t + V_i^2 \cos^2 \omega_i t) \frac{\partial C}{\partial x}$$

Mellomregning:

$$\begin{aligned} \cos^2 \omega_i t &= 1 - \sin^2 \omega_i t = \frac{1}{2} (2 - 2 \sin^2 \omega_i t) \\ &= \frac{1}{2} (1 + 1 - \sin^2 \omega_i t - \sin^2 \omega_i t) \\ &= \frac{1}{2} (1 + \sin^2 \omega_i t + \cos^2 \omega_i t - \sin^2 \omega_i t \\ &\quad - \sin^2 \omega_i t) \\ &= \frac{1}{2} (1 + \cos^2 \omega_i t - \sin^2 \omega_i t) \\ &= \frac{1}{2} (1 + \cos 2 \omega_i t) \end{aligned}$$

d.v.s

$$V_i^2 \cos^2 \omega_i t = \frac{V_i^2}{2} (1 + \cos 2 \omega_i t)$$

Innsetting:

$$F_d = \left(\frac{1}{2} V_P^2 - V_P V_i \cos \omega_i t + \frac{1}{2} \cdot \frac{V_i^2}{2} + \frac{1}{2} \frac{V_i^2}{2} \cos 2\omega_i t \right) \frac{\partial C}{\partial x}$$

$$F_d = \underbrace{\frac{\partial C}{\partial x} \left(\frac{V_P^2}{2} + \frac{V_i^2}{4} \right)}_{\text{Off-resonans DC-kraft}} - \underbrace{V_P \frac{\partial C}{\partial x} V_i \cos \omega_i t}_{\text{Kraft i takt med input-frekvensen, forsterket med DC-spenningen } V_P} + \frac{\partial C}{\partial x} \frac{V_i^2}{4} \cos 2\omega_i t$$

E

Off-resonans DC-kraft som statisk bøyer beam. Har liten effekt på signalprosesseringsfunksjon

Kraft i takt med input-frekvensen, forsterket med DC-spenningen V_P

3.dje ledd:

$$\frac{\partial C}{\partial x} \frac{V_i^2}{4} \cos 2\omega_i t \quad \text{Kan drive beam inn i vibrasjoner ved}$$

$$2\omega_i = \omega_0$$

$$\omega_i = \frac{\omega_0}{2}$$

Heris $V_P \gg V_i$, så blir dette leddet lite

[Kan gi problemer i visse tilfelle, f.eks. ved BP-filtra hvor en får inn kraftig interferens ved halve passbånd-frekvensen.]

Prosedyre, forts.

- Kraftens hovedbidrag er prop med \cos
 - Driver beam inn i resonans
- **F)** Kraften gir "displacement" (x-variasjon)
 - Den lokale fjærstivheten varierer over bredden av drive-elektroden
 - Lokalt displacement er avhengig av posisjon y
- **G)** Utleddning av et uttrykk for displacement, $x(y)$, som funksjon av fjærstivheten i posisjonen y

Topologi

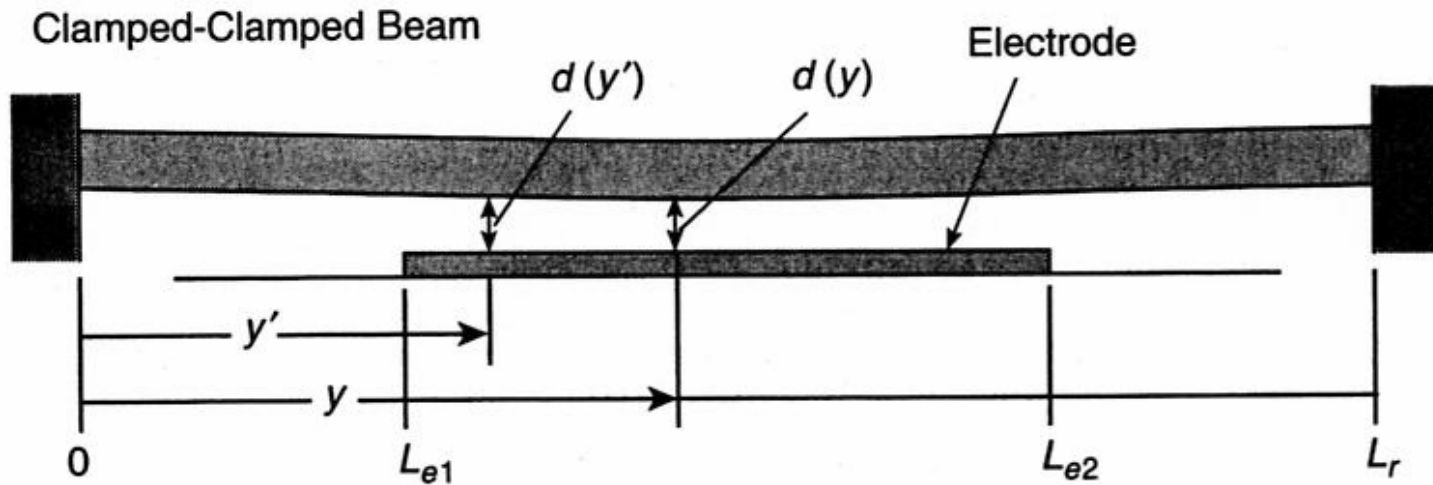


Figure 12.9. Resonator cross-sectional schematic for frequency-pulling and impedance analysis.

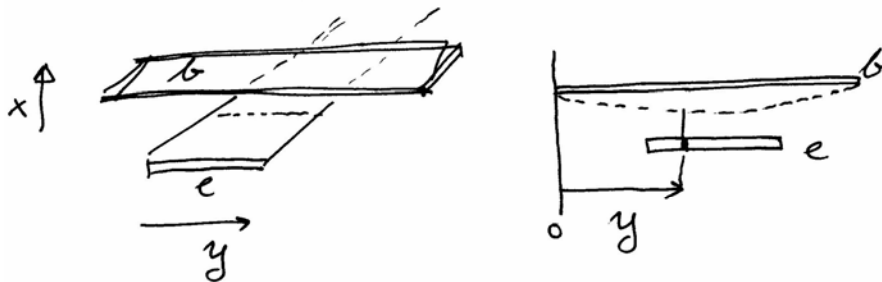
Hovedbidraget for høy-Q-tank og filter-
anvendelser:

Kraft =
$$-V_p \frac{\partial c}{\partial x} v_i \cos \omega_i t$$

Når $\omega_i = \omega_0$ vil denne kraften drive
beam inn i resonans

$$F_d = -V_p \frac{\partial c}{\partial x} \cdot v_i(\omega_0) \quad , \quad x \text{ pos oppover}$$

Avstanden mellom beam og elektrode er
avhengig av y (= displacement)



Generelt: $F = k \cdot x$ **(Dette gjelder rent STATISK)**

Den lokale fjærstivheten varierer med y

$$k(y) = k_{\text{eff}}(y)$$

k_{eff} = effektiv fjærstivhet i y

For mekaniske systemer gjelder

Dynamisk oppførsel

F

$$H(s) = \frac{x}{F} = \frac{\text{displacement}}{\text{force}} = \frac{\frac{1}{m}}{s^2 + \frac{b}{m}s + \frac{k}{m}}$$

$$H'(s) = \frac{kx}{F} = \frac{k/m}{s^2 + \frac{b}{m}s + \frac{k}{m}} = \frac{\omega_0^2}{s^2 + \frac{\omega_0}{Q}s + \omega_0^2}$$

$$H'(j\omega_0) = \frac{\omega_0^2}{-\omega_0^2 + j \frac{\omega_0 \cdot \omega_0}{Q} + \omega_0^2} = \frac{Q}{j}$$

Generelt: $kx = F \cdot \frac{Q}{j}$

Ved resonans

i dette tilfelle:

G

$$x(y) = - \frac{Q \cdot F_d}{j k_{\text{uff}}(y)} = - \frac{Q}{j k_{\text{uff}}(y)} \cdot v_p \cdot \frac{\partial c}{\partial x} \cdot v_i$$

(Kraft og displacement i motsatt retning)

Prosedyre, forts

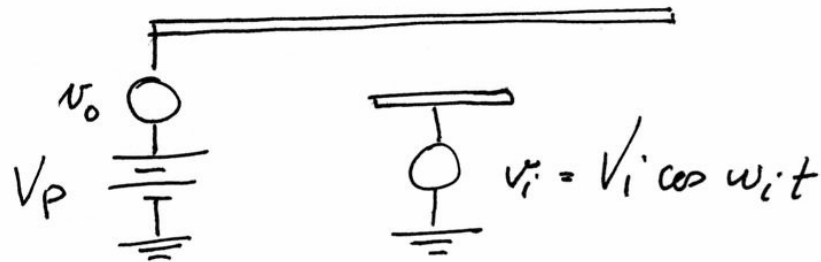
- Når bjelken beveger seg, dannes det en tidsvarierende kapasitans mellom elektroden og resonatoren
- **H)** Dette fører til en utgangsstrøm som er "DC-biased" via V_p
 - dC/dx er her et ulineært ledd
 - dx/dt er hastigheten

Når beam bevæger sig, dannes det en tidsvarierende kapacitans mellem elektrode og resonator

Dette fører til en udgangsstrom givet af

$$i_o = -V_P \frac{\partial C}{\partial x} \cdot \frac{\partial x}{\partial t} \quad (V_P \text{ er DC-bias på beam})$$

$$\begin{aligned} \uparrow \\ Q_o = V_P \cdot C \\ \dot{Q}_o = i_o = \end{aligned} \quad \uparrow$$



Frekvenskarakteristikk

- Typiske parametre, Q, vakuum
 - Gir båndpassfilter, $Q \sim 10,000$
 - Egner seg for referanse oscillatorer og filtre med lave tap
- $Q \sim$ noen hundre ved atmosfære-trykk

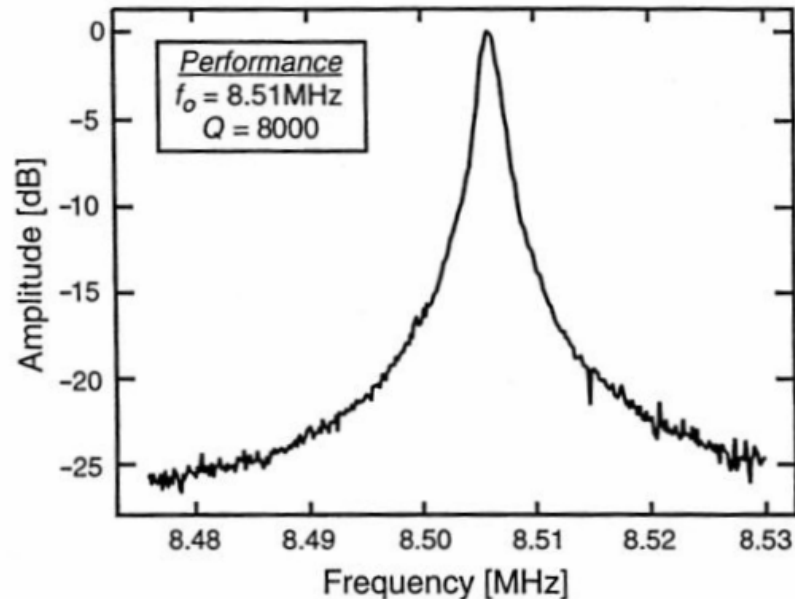


Figure 12.7. Frequency characteristic for an 8.5 MHz clamped-clamped beam polysilicon μ mechanical resonator measured under 70 mtorr vacuum using a dc-bias voltage $V_p = 10$ V, a drive voltage of $v_i = 3$ mV, and a transresistance amplifier with a gain of $33\text{ K}\Omega$ to yield an output voltage v_o . Amplitude = v_o/v_i . (From reference [18])

Prosedyre, forts.

- Overføring til mekanisk ekvivalentkrets:
 - ”mass-spring-damper”-krets
 - NB! Befinner oss fortsatt i mekanisk domene
- Bjelken beskrives ved ”lumped elements”
- Elementverdiene er avhengig av **HVOR** på bjelken en betrakter, - avhengig av y

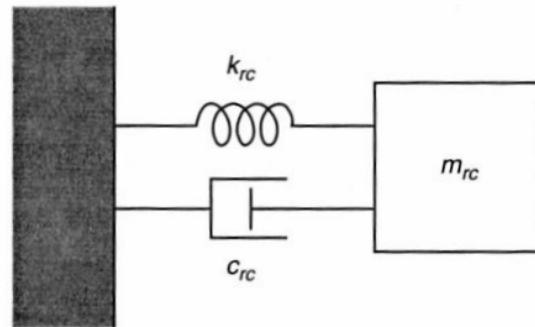


Figure 12.8. Lumped-parameter mechanical equivalent circuit for the micromechanical resonator of Figure 12.4.

I) Beregning av "ekvivalent masse" som funksjon av y
Utfyllende fra R. A. Johnson: "Mechanical Filters in Electronics", Wiley, 1983

Forenklet utledning av utbøyningsligning
Form på "fundamentalmoden"

Hvert punkt, y , har en gitt effektiv masse, en gitt hastighet
og en gitt fjærkonstant

Lavest "masse" midt på, der hastigheten er høyest

Den ekvivalente massen ved en lokasjon y på resonatoren er gitt av:

$$m_r(y) = \frac{KE_{tot}}{\frac{1}{2} [v(y)]^2}$$

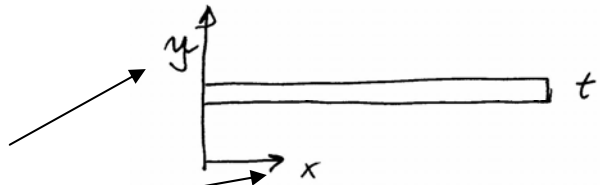
KE_{tot} = peak kinetisk energi i systemet

$v(y)$ = hastighet i lokasjon y

Flexural-mode resonators

(Generelt fra "Johnson")

NB!



$$w = \text{width}$$

$$I = \frac{wt^3}{12}$$

I = treghetsmomentetk

u = displacement i y -retning
 E = elastiske modulus
 ρ = tetthet

Bølge ligningen:

$$\frac{\partial^2 u}{\partial t^2} = \frac{E \cdot I}{\rho \cdot A} \cdot \frac{\partial^4 u}{\partial x^4}$$

$$u = u_1 e^{j\omega t}$$

$$\Rightarrow \frac{\partial^4 u}{\partial x^4} = \left(\omega^2 \frac{\rho A}{EI} \right) u$$

k er her "bølgetallet"

Har løsning:

$$u(x) = A \cosh kx + B \sinh kx + C \cos kx + D \sin kx$$

A, B, C, D bestemmes av grensebetingelsene

For fundamental-frekvensen: (for c-c beam)

$$\text{"Mode shape"} = u(x) = \xi (\cos kx - \cosh kx) + (\sin kx - \sinh kx)$$

x svarer her til tidligere y

Velocity i x-retning (langs beam)

$$v(x) = \dot{u}(x) = \frac{d}{dt} (u_1 e^{j\omega t}) = j\omega u(x)$$

Ekvivalent masse

$$M_{eq}(x) = \frac{KE}{\frac{1}{2} v^2(x)} = \frac{\frac{1}{2} \rho A \int_0^l v^2(x') dx'}{\frac{1}{2} v^2(x)}$$

$$M_{eq}(x) = \frac{\frac{1}{2} \rho A (-\omega^2) \int_0^l u^2(x') dx'}{\frac{1}{2} (-\omega^2) u^2(x)}$$
$$= \frac{\rho \omega \cdot t \int_0^l [X_{mode}(x')]^2 dx'}{[X_{mode}(x)]^2}$$

Anta y -retning langs bjelken (som vist i figur 12.9)

Ekvivalent masse

$$m_r(y) = \frac{KE_{tot}}{\frac{1}{2} [v(y)]^2}$$
$$= \frac{\rho W_r \cdot h \int_0^{L_r} [X_{mode}(y')]^2 dy'}{[X_{mode}(y)]^2}$$

der

"Formen" på fundamentalmoden:
= utbøyningen som funksjon av y

$$X_{mode}(y) = \xi (\cos \beta y - \cosh \beta y)$$
$$+ (\sin \beta y - \sinh \beta y)$$

β = "bølgetallet"

$$\beta = 4.730/L_r$$

$$\xi = -1.01781 \quad (\text{fundamental modus})$$

Dimensjoner: se fig 12.9

Topologi

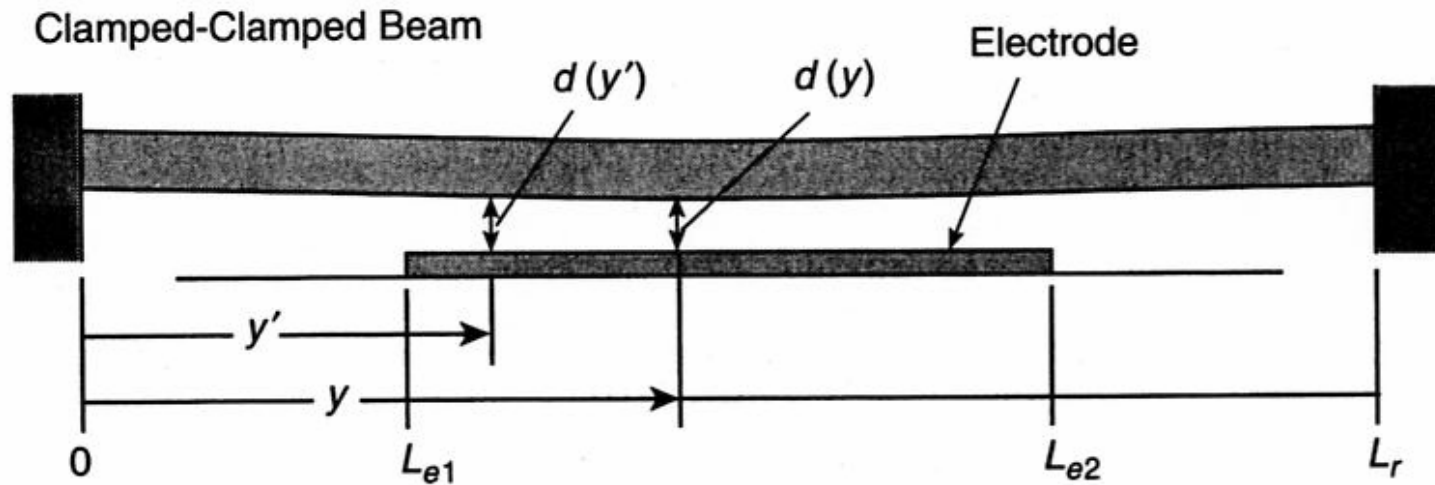


Figure 12.9. Resonator cross-sectional schematic for frequency-pulling and impedance analysis.

Prosedyre, forts.

- J) Når en har beregnet ekvivalent masse som funksjon av (y) , kan en beregne ekvivalent fjærstivhet $k_r(y)$ og dempefaktor $c_r(y)$
 - $k_r =$ "ekvivalent", dvs. med innvirkning både fra mekaniske og elektriske effekter

Resonans-frekvens gitt av tidligere ligning

$$f_0 = \frac{1}{2\pi} \sqrt{\frac{k_R}{m_R}}, \quad \omega_0^2 = \frac{k_R}{m_R}$$

Ekvivalent fjærstivhet

$$k_R(y) = \omega_0^2 \cdot m_R(y)$$

↑ ekvivalent masse

Dempningsfaktor $C_R(y)$:

$$s^2 + \frac{b}{m} s + \frac{k}{m} = s^2 + \frac{\omega_0}{Q} s + \omega_0^2$$

b = dempningsfaktor

$$b = m \cdot \frac{\omega_0}{Q} = \frac{m \cdot \sqrt{\frac{k}{m}}}{Q} = \frac{\sqrt{k \cdot m}}{Q}$$

J

Ser bare på det mekaniske bidraget. Dette gir en viss frekvens, ω_{nom} og en viss Q-faktor, Q_{nom}

$k_m(y)$ = den mekaniske fjærstivheten

Dempingen er avhengig kun av de mekaniske faktorene, mens den elektrostatiske "beam-softening" virker gjennom å endre fjærstivheten

$$\text{Her: } C_r(y) = b = \frac{\sqrt{k_m(y) \cdot m_r(y)}}{Q_{nom}}$$

$$k_m(y) = \omega_{nom}^2 \cdot m_r(y)$$

$$\Rightarrow C_r(y) = \frac{\omega_{nom} \cdot m_r(y)}{Q_{nom}} = \frac{k_m(y)}{\omega_{nom} \cdot Q_{nom}}$$

K) Den mekaniske stivheten av resonatoren alene uten innflytelse av påtrykt spenning og elektroder finnes

K $k_m(y) = \omega_{nom}^2 \cdot m_r(y)$
↗ Den mekaniske stivhet av resonatoren alene uten innflytelse av påtrykt spenning og elektroder

$Q_{nom} = Q$ -faktoren til resonatoren uten innflytelse av påtrykt spenning og elektroder

Tunbar elektrisk fjærstivhet

- Fjærstivheten kan tunes ved V_p
 - Resultanten er avhengig av forholdet mellom k_e og k_m
- L) Beregn hvordan k_e avhenger av lokasjon y

Voltage-kunbar elektrisk styrket

- Resonans-frekvens kan finnes ved V_p
- Gir en V_p -avhengig elektrisk fjærkonstant k_e som subtraheres fra den mekaniske fjærkonstanten k_m
- Den resulterende fjærkonstanten settes

$$k_r = k_m - k_e$$

↑ ↖ elektrisk
mekanisk

Resonansfrekvensen

$$f_0 = \frac{1}{2\pi} \sqrt{\frac{k_m - k_e}{m_r}} = \frac{1}{2\pi} \sqrt{\frac{k_m}{m_r} \left(1 - \frac{k_e/m_r}{k_m/m_r}\right)}$$

i realiteten

$$f_0 = \frac{1}{2\pi} \sqrt{\frac{k_m}{m_r}} \left(1 - \frac{k_e}{k_m}\right)^{1/2}$$

Forholdet endres over y' , dvs. må summeres opp i et integral

Verdier i start-
lokasjon

↑ Finnes ved integrasjon
over elektriske-buenden
 W_e

$$\phi_0 = 1.03 \lambda \sqrt{\frac{E}{\rho}} \cdot \frac{h}{L^2} \left(1 - \left\langle \frac{k_e}{k_m} \right\rangle\right)^{1/2}$$

k_e avhenger av kapasitansen $C(x)$ som igjen er avhengig av beam - elektrode - gapet som oppstår pga. V_p

$d(y')$ ← avhengig av avstanden y'
 ↑ gapet

Resultat:

Pot. energi: $U = \frac{1}{2} V_p^2 C = \frac{1}{2} V_p^2 \frac{\epsilon_0 A}{d}$ Vp inngår!

$$U = \int_0^d k \cdot x \, dx = \frac{1}{2} k d^2 = \frac{1}{2} V_p^2 \frac{\epsilon_0 A}{d}$$

Arbeid = kraft x vei

Her: $k = V_p^2 \frac{\epsilon_0 A}{d^3} = V_{p_2} * C_0 / d_2$

$$\downarrow dk_e(y') = V_p^2 \frac{\epsilon_0 \cdot W_n \cdot dy'}{[d(y')]^3}$$

= et lite bidrag til den totale fjærstivheten fra et element dy'

Fjærstivheten er avhengig av gapet!

↑ Differensial elektrisk fjærstivhet i lokasjon y' og ved en liten elektrode-bredde dy'

Beregn gapet: Må finne et uttrykk for $d(y)$:

Anta at kraft ved en forskyvning ut fra likevektstilling ($V_p = 0$), er:

$$F = -\frac{1}{2} V_p^2 \frac{\epsilon_0 A}{d^2} = k \cdot \text{"displacement"}$$

Gap-avstanden kan uttrykkes ved:

$$d(y) = d_0 - \frac{1}{2} V_p^2 \epsilon_0 W_r \int_{L_{e1}}^{L_{e2}} \frac{1}{k_m(y') [d(y')]^2} \frac{x_{stat}(y)}{x_{stat}(y')} dy'$$

↑
gap ved $V_p = 0$

Statisk "bending shape"
pga. den distribuerte
dc-kraften

kraft / eff. fjærstivhet

↖
dvs. relatert til
svinge-amplituden

$d(y)$ -ligningen må løses iterativt

Dermed finnes $dk_e(y')$ av $V_p^2 \frac{\epsilon_0 W_r dy'}{[d(y')]^3}$

$$g \left(\frac{k_e}{k_m} \right) = g(d, V_p) = \int_{L_{e1}}^{L_{e2}} \frac{dk_e(y')}{k_m(y')}$$

Forenklet betraktning (De Los Santos):

Regner bjelken flat over elektroden

Potensiell energi pga. påsatt spenning

$$U_1 = \frac{1}{2} C V_P^2$$

Det arbeidet som utføres ved å forflytte bjelken en avstand g , MOT kraften som skyldes den elektriske fjærstivheten k_e

$$U_2 = \int_0^g k_e \cdot x \cdot dx = \frac{1}{2} k_e \cdot g^2$$

(Forutsetter at fjærstivheten er konstant i hvert punkt, y')

Energiene kan settes lik hverandre

$$\frac{1}{2} k_e \cdot g^2 = \frac{1}{2} C \cdot V_P^2$$

Forenklet uttrykk for elektrisk fjærstivhet

$$k_e = \frac{C \cdot V_P^2}{g^2}$$

Forenklet uttrykk for frekvensen:

$$\begin{aligned} f &= \frac{1}{2\pi} \sqrt{\frac{k_m - k_e}{m_r}} = \frac{1}{2\pi} \sqrt{\frac{k_m}{m_r} \left(1 - \frac{k_e}{k_m}\right)} \\ &= \frac{1}{2\pi} \sqrt{\frac{k_m}{m_r}} \cdot \sqrt{1 - \frac{k_e}{k_m}} = f_{nom} \cdot \sqrt{1 - \frac{C \cdot V_P^2}{k_m \cdot g^2}} \end{aligned}$$

Innsatt for C:

$$\begin{aligned} C &= \varepsilon_0 \cdot \frac{A}{g} \\ f &= f_{nom} \cdot \sqrt{1 - \frac{\varepsilon_0 \cdot A \cdot V_P^2}{k_m \cdot g^3}} \end{aligned}$$

Dette harmonerer med de tidligere detaljerte beregningene

$$k_e = \varepsilon_0 \cdot \frac{A \cdot V_P^2}{g^3}$$

$$dk_e(y') = V_P^2 \cdot \frac{\varepsilon_0 \cdot W_r \cdot dy'}{[d(y')]^3}$$

Ha :

$$k_e = V_P^2 \frac{\varepsilon_0 A}{d^3}$$

↓

$$dk_e(y') = V_P^2 \frac{\varepsilon_0 \cdot W_r \cdot dy'}{[d(y')]^3}$$

↑
Differensial elektriske fjernskubning
i lokasjon y' og ved en en liten
elektrode-bredde dy'

L

Beam-softening

- Resonansfrekvensen faller med en gitt faktor
 - $\sqrt{1 - C_0 * V_p \exp^2 / (k_m * d \exp^2)}$
 - **-> resonansfrekvensen kan tunes elektrisk!**

$$f_o = \frac{1}{2\pi} \sqrt{\frac{k_r}{m_r}} = 1.03\kappa \sqrt{\frac{E^* h}{\rho L_r^2}} [1 - g(V_P)]^{1/2}, \quad (12.2)$$

Småsignal-ekvivalent

- En elektrisk ekvivalentkrets trengs for å modellere og simulere impedansoppførselen til denne mikro-mekaniske resonatoren i en **felles** elektromekanisk krets

$$L_x = \frac{m_{re}}{\eta_e^2}, \quad C_x = \frac{\eta_e^2}{k_{re}}, \quad R_x = \frac{\sqrt{k_{re}m_{re}}}{Q\eta_e^2} = \frac{C_{re}}{\eta_e^2}, \quad (12.17)$$

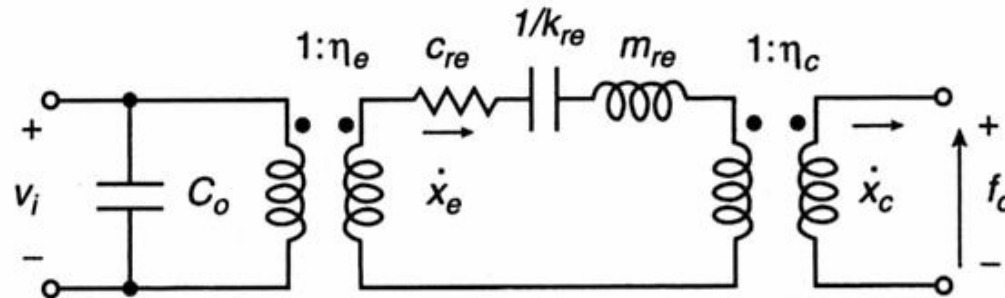
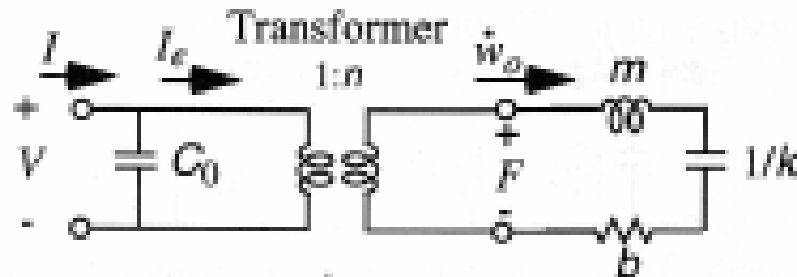


Figure 12.10. Equivalent circuit for a μ mechanical resonator with both electrical (voltage v_i) and mechanical (force f_c) inputs and outputs.

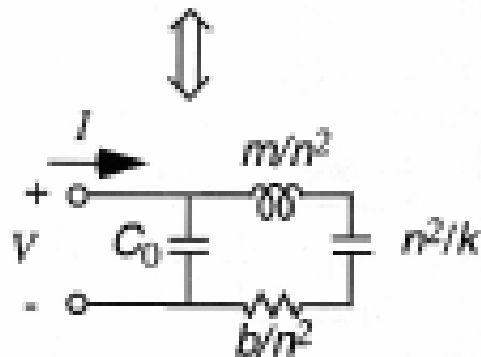
Koblingskoeffisient

- Hvis en ser inn i kretsen fra venstre
- En ser en en transformert LCR-krets med nye elementverdier gitt av (12.17)
 - Elektromekanisk koblingskoeffisient = "transformer turns ratio"
- Koblingskoeffisienten er utmeislet i notater fra UCLA
 - Tatt i forbindelse med 2-port lateral comb-drive actuator (L8)

Small Signal Equivalent Circuit of Microresonators



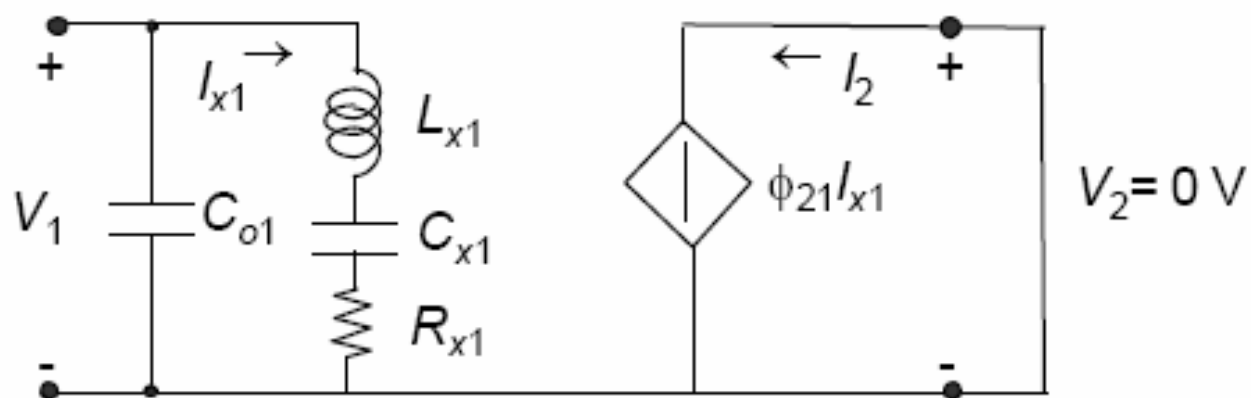
Electrical Domain ↔ Mechanical Domain



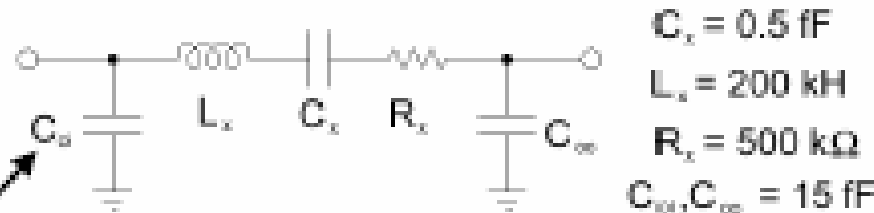
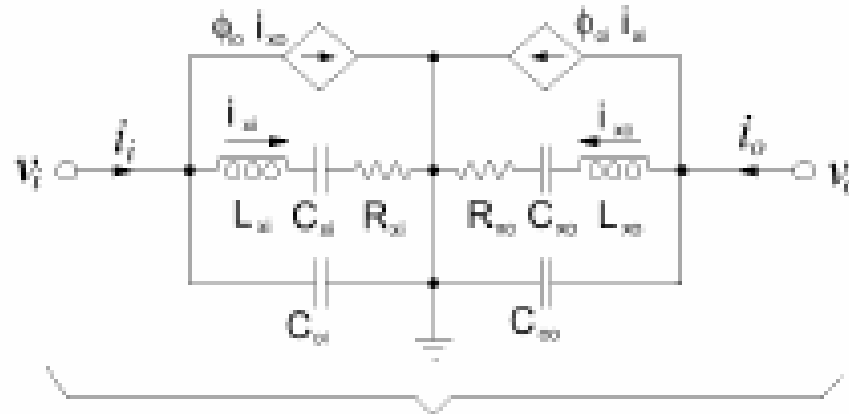
Unit of n^2/k is Farad

$$n = V_{dc} \frac{\partial C}{\partial x}$$

Two-Port Equivalent Circuit ($v_2 = 0$)



Equivalent Circuit of 2-Port Resonator (in Electrical Domain)



Fixed electrical
Capacitance
Between fixed comb
And ground plane

$$C_{sA} = \frac{\eta_A^2}{k}$$

$$L_{sA} = \frac{M}{\eta_A^2}$$

$$R_{sA} = \frac{\sqrt{kM}}{Q\eta_A^2}$$

$$\phi_{sA} = \frac{\eta_{sA}}{\eta_A}$$

$$\eta_A = V_{Fs} \frac{\partial C_s}{\partial x}$$

C. T.-C. Nguyen, "Micromechanical resonators for oscillators and filters," Proceedings IEEE International Ultrasonics Symposium, Seattle, WA, pp. 489-496, Nov. 7-10, 1986

Diskusjon:



FSRM

FUNDAMENTALS OF SURFACE
ACOUSTIC WAVE DEVICES

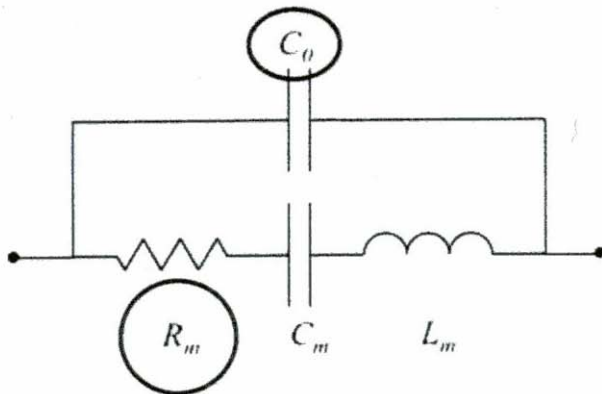


ÉCOLE POLYTECHNIQUE
FÉDÉRALE DE LAUSANNE

Resonator equivalent circuit

Two types of currents possible:

- **from resonator motion** (should dominate!)
- from electrodes and resonator acting as pure electrical structure (from feedthrough capacitance)



Admittance at resonance is

$$Y_{in} = \frac{1}{R_m} + j\omega_o C_o$$

where we want to minimize the motional resistance, R_m :

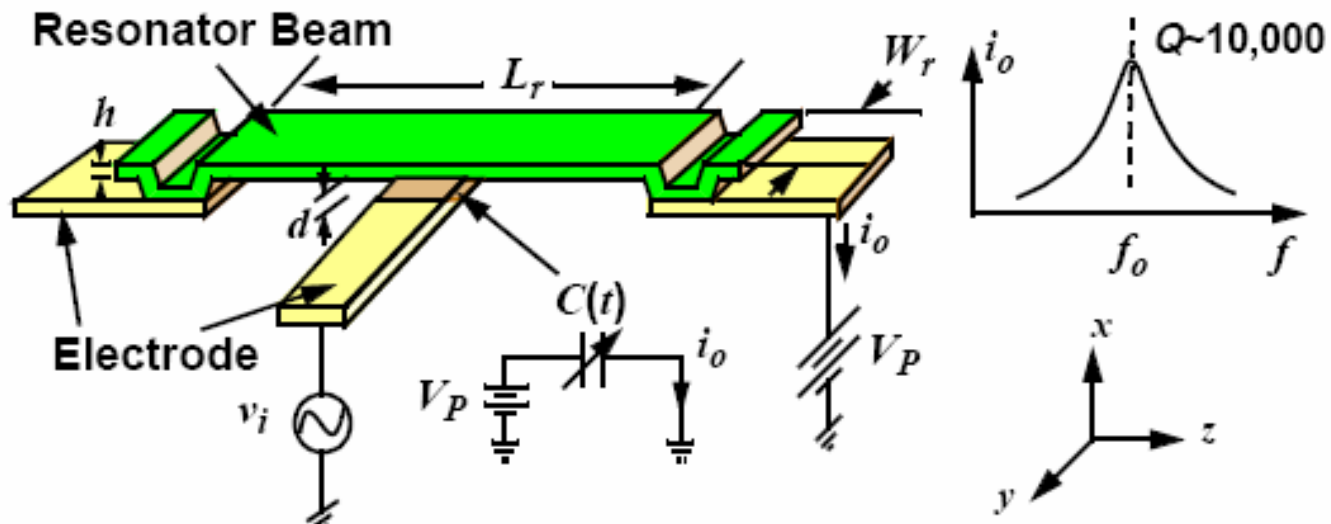
$$R_m = \frac{\sqrt{k^* m}}{Q\eta^2} \quad \eta = V_{DC} \frac{dC}{dg}$$

- Need:
 - High Q
 - High coupling (high voltage or small gap)
 - Low mass
 - Low stiffness (!)

95

Vertically-Driven Micromechanical Resonator

- To date, most used design to achieve VHF frequencies



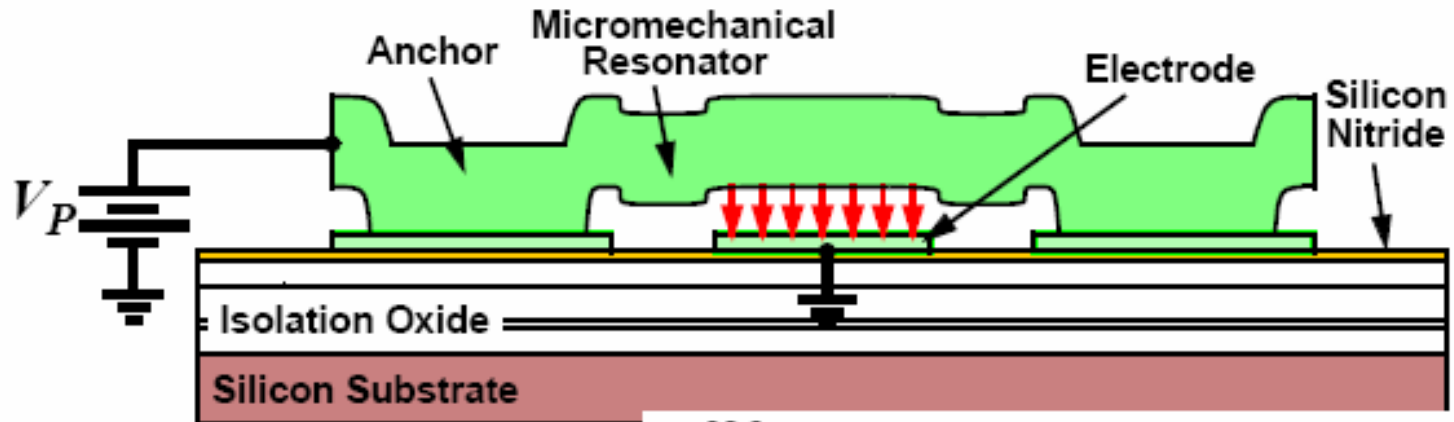
$$f_o = \frac{1}{2\pi} \sqrt{\frac{k_r}{m_r}} = 1.03 \sqrt{\frac{E}{\rho}} \frac{h}{L_r^2}$$

(e.g. $m_r = 10^{-13}$ kg)

E = Youngs Modulus
 ρ = density

- Smaller mass \Rightarrow higher frequency range and lower series R_x

Voltage-Controllable Center Frequency



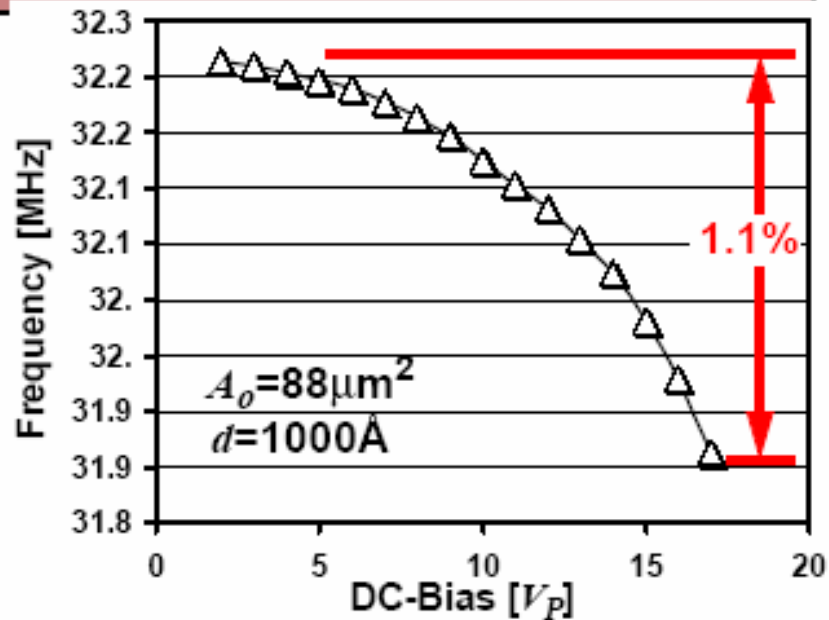
- Quadrature force \Rightarrow voltage-controllable electrical stiffness:

$$k_e = \frac{\epsilon_0 A_o}{d^3} V_P^2$$

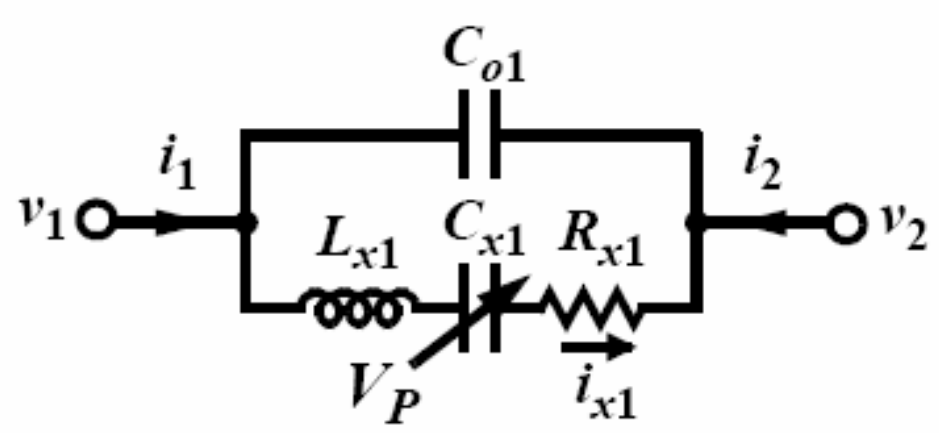
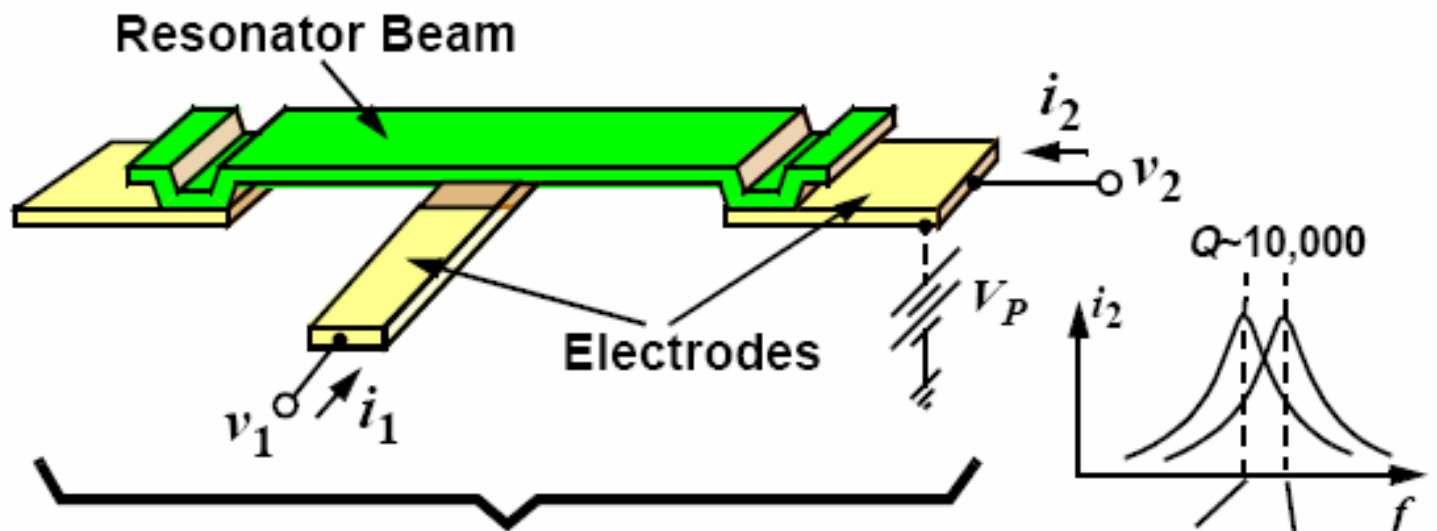
Electrode Overlap Area

Finger Gap

$$f_o = \frac{1}{2\pi} \sqrt{\frac{k_m - k_e}{m_r}}$$



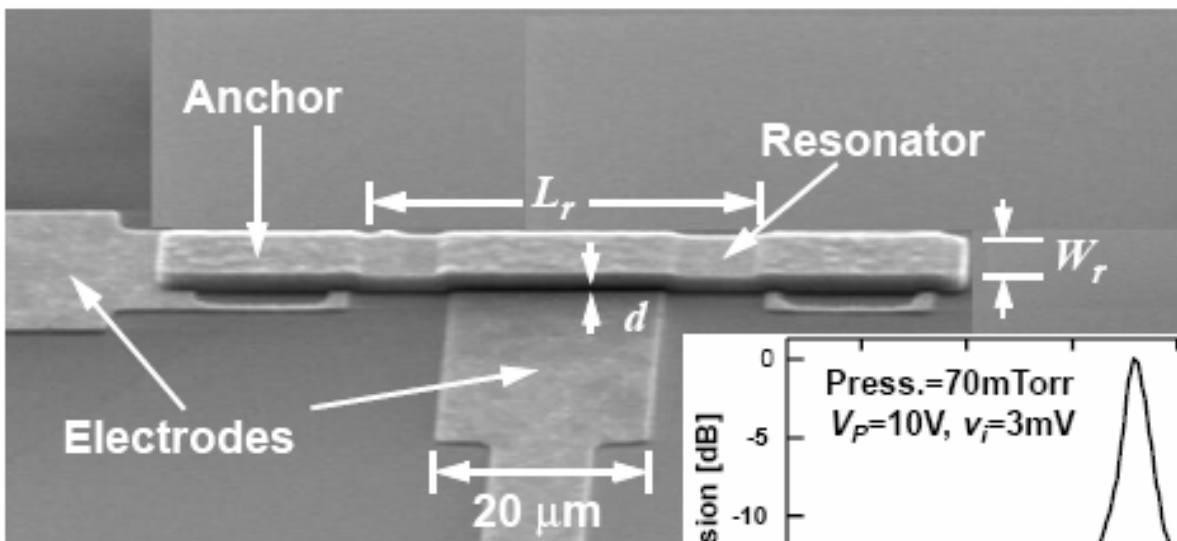
Micromechanical Resonator Equivalent Circuit



Typical:
 $C_x \sim 0.20 \text{ fF}$
 $L_x \sim 2.6 \text{ mH}$
 $R_x \sim 115 \Omega$
 $C_o \sim 17 \text{ fF}$

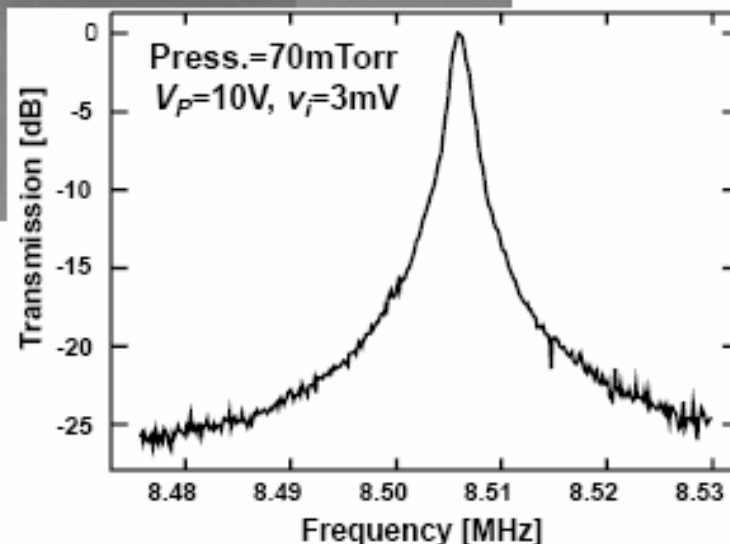
Fabricated HF μ Mechanical Resonator

- Surface-micromachined, POCl_3 -doped polycrystalline silicon



$L_r = 40.8 \mu\text{m}$, $W_r = 8 \mu\text{m}$,
 $h = 2 \mu\text{m}$, $d = 0.1 \mu\text{m}$

- Extracted $Q = 8,000$ (vacuum)
- Freq. influenced by dc-bias and anchor effects



Tap, c-c-beam

- Stivheten til en gitt resonator-bjelke øker i takt med økende resonans-frekvens
 - Mer energi pr sykel går inn i substratet via ankere
- c-c-beam har tap gjennom ankerfestene
 - → Q-faktoren går ned når frekvensen øker
 - c-c-beam er ikke den beste strukturen ved de høyeste frekvensområdene!
 - Eks. $Q = 8,000$ ved 10 MHz, $Q = 300$ ved 70 MHz
- c-c beam kan brukes til referanse-oscillator eller HF/VHF filter/mikser
- **”free-free beam” kan brukes for å minske tapet gjennom ankerene i substratet!**

free-free-beam

- Gunstig når det gjelder tap til substratet gjennom ankerfestene
- f-f-beam er opphengt ved 4 support-bjelker i bredde-retningen
 - Torsjons-oppheng
 - Oppheng festet ved nodepunktene for "flexural mode"
- Support-dimensjonene tilsvarer en kvart-bølgelengde av f-f-bjelkens resonans-frekvens
 - Impedansen som bjelken erfarer fra support nulles ut
 - Bjelken blir fri til å vibrere som om den ikke hadde noe oppheng
- Høyere Q kan oppnås
 - Eks. $Q = 20,000$ ved 10 – 200 MHz
 - Anvendes i referanse-oscillatorer, HF/VHF-filtre/miksere

free-free beam

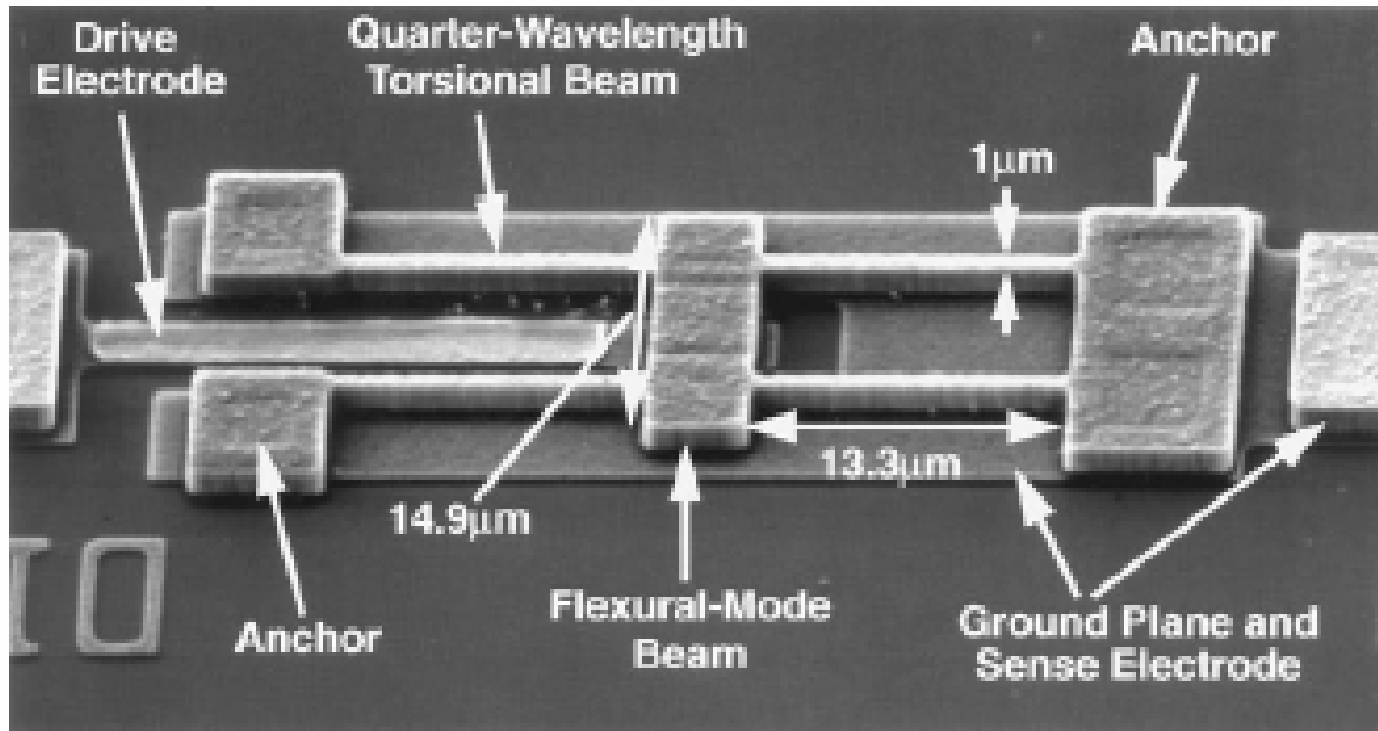
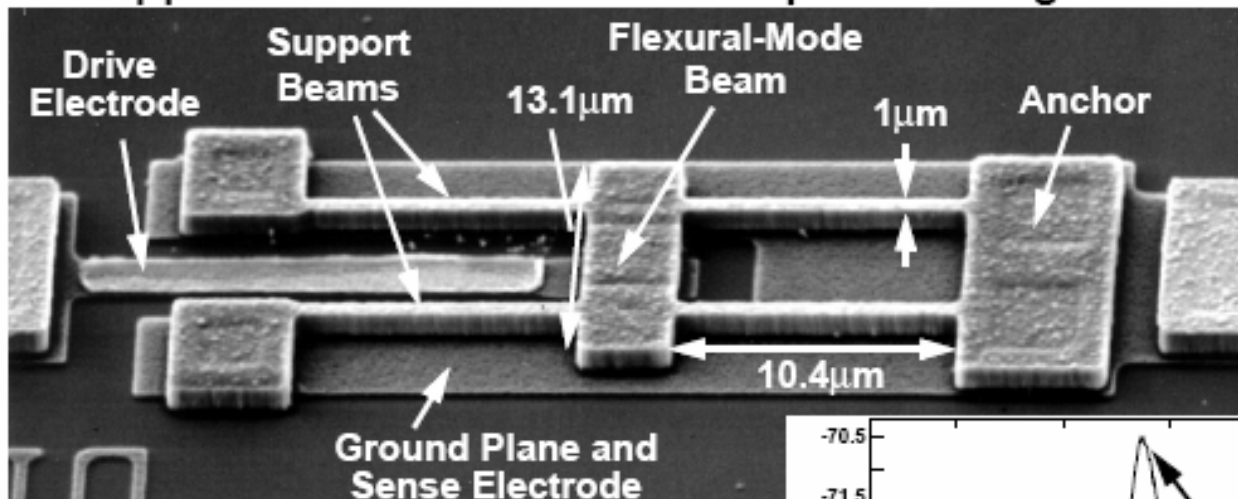


Fig. 29. SEM of free-free beam virtually levitated micromechanical resonator with relevant dimensions for $f_0 = 71$ MHz.

92 MHz Free-Free Beam μ Resonator

- Free-free beam μ mechanical resonator with non-intrusive supports \Rightarrow reduce anchor dissipation \Rightarrow higher Q



Design/Performance:

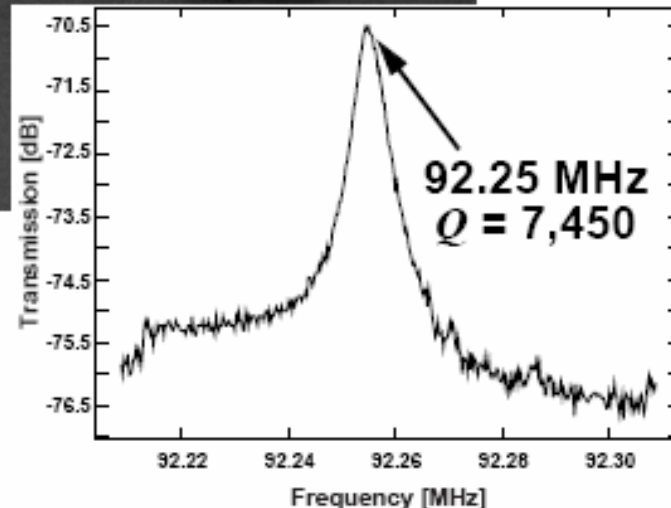
$$L_r = 13.1\mu\text{m}, W_r = 6\mu\text{m}$$

$$h = 2\mu\text{m}, d = 1000\text{\AA}$$

$$V_p = 28\text{V}, W_e = 2.8\mu\text{m}$$

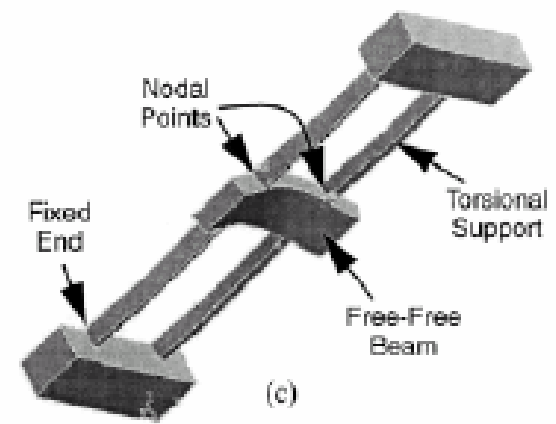
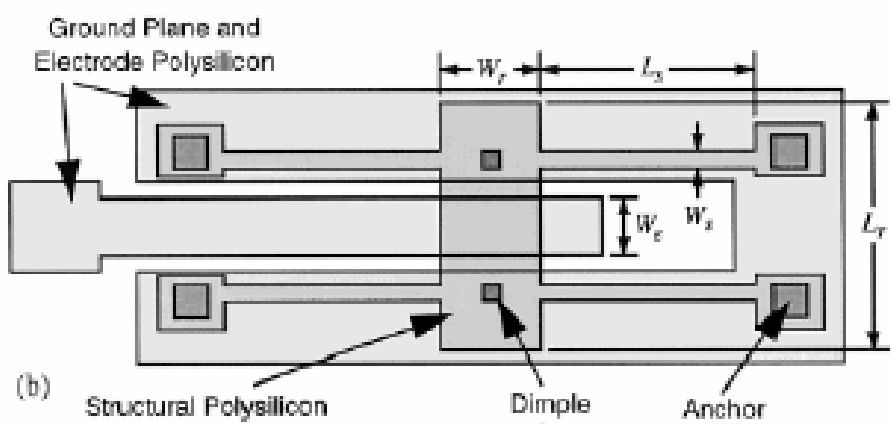
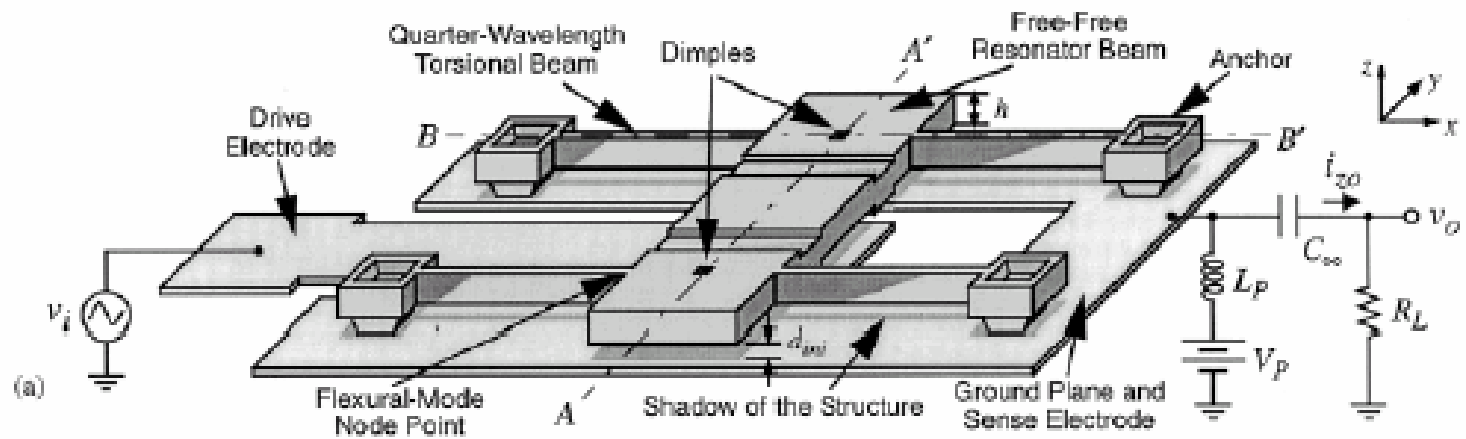
$$f_o \sim 92.25\text{MHz}$$

$$Q \sim 7,450 @ 10\text{mTorr}$$



[Wang, Yu, Nguyen 1998]

VHF Free-Free Beam High-Q Micromechanical Resonator

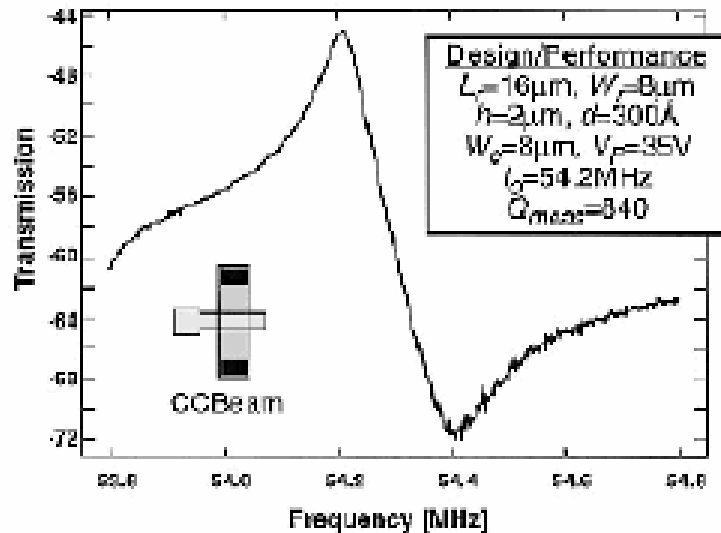


M. C. Wu

(determined the gap)

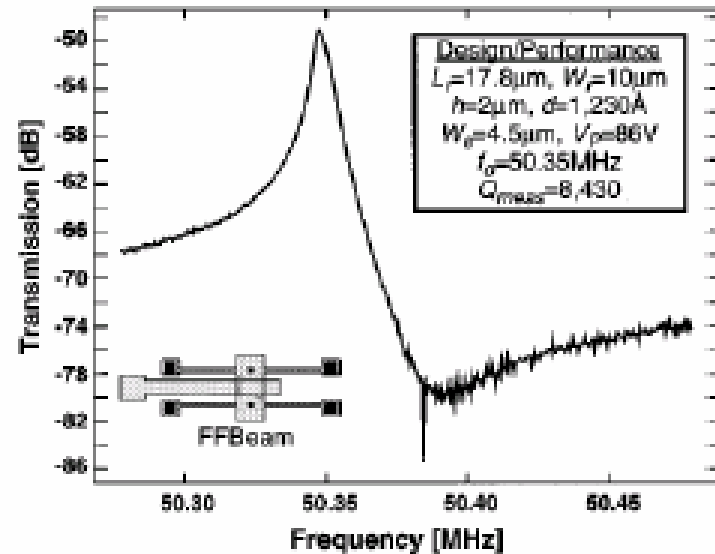
J. MEMS, Vol. 9, No. 3, 2000, C. T. -C. Nguyen, et al.

Comparison of Frequency Characteristics



Clamped-clamped beam

- $L_r=16\ \mu\text{m}$, $d=0.03\ \mu\text{m}$
- $V_p=35\ \text{V}$, $f_0=54.2\ \text{MHz}$
- $Q=840$

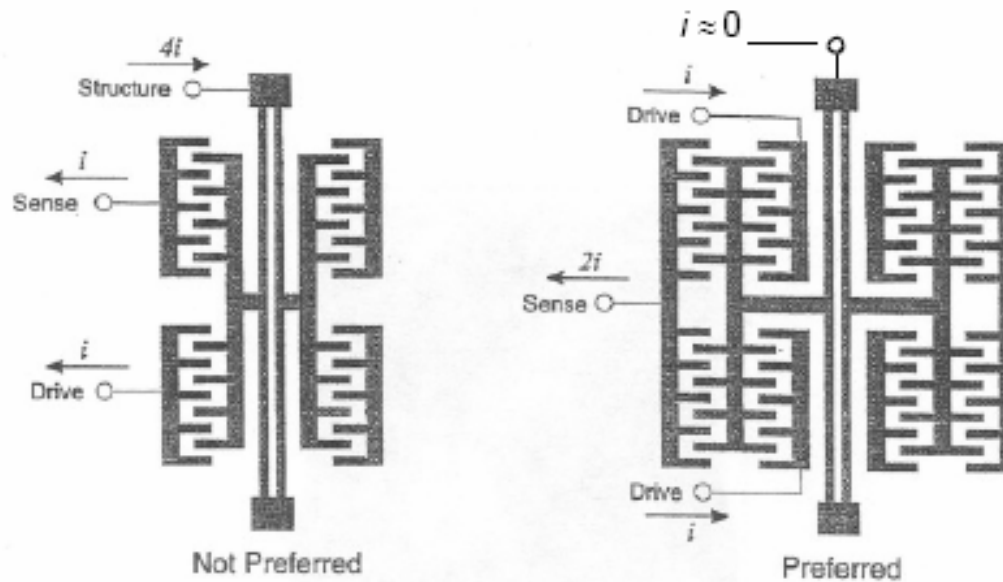


Free-free beam

- $L_r=17.8\ \mu\text{m}$, $d=0.12\ \mu\text{m}$
- $V_p=86\ \text{V}$, $f_0=50.35\ \text{MHz}$
- $Q=8,430$

Andre typer resonatorer

Double-Ended Tuning Fork Resonators



Current through structure \rightarrow more resistance (decreases Q)
more feedthrough to substrate

”Stemmegaffel” – balansert!

Scaling of Lateral Micromechanical Resonators

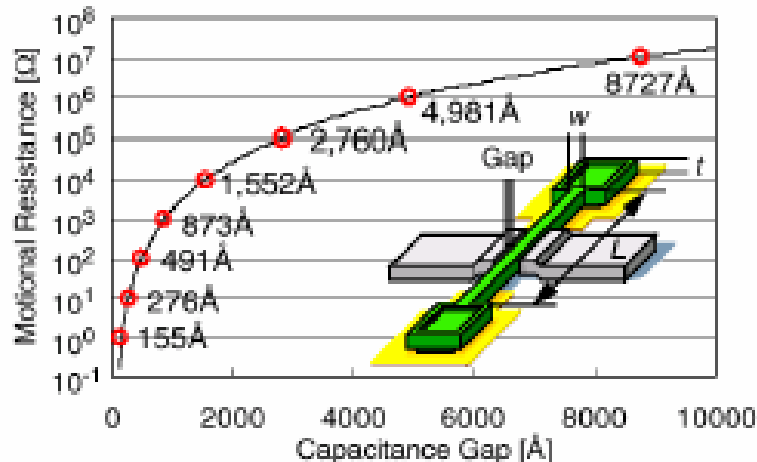


Fig. 1: Simulated plot of motional resistance versus electrode-to-resonator gap for a 40µm-long, 2µm-wide, 3µm-thick, lateral clamped-clamped beam µmechanical resonator.

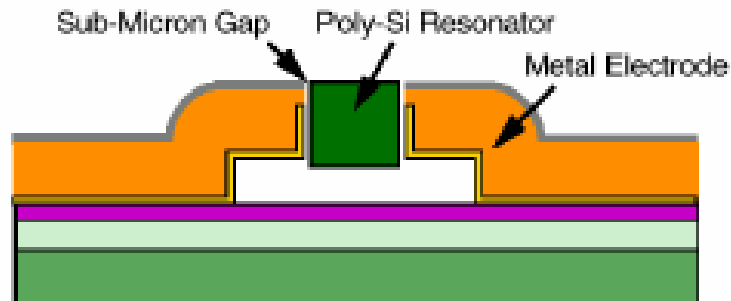
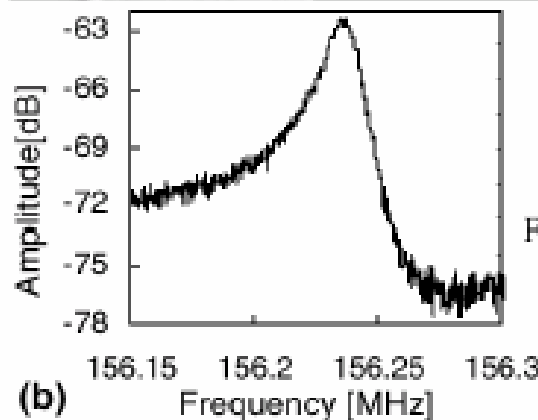
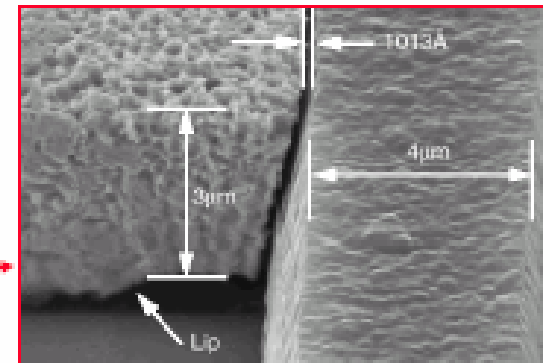
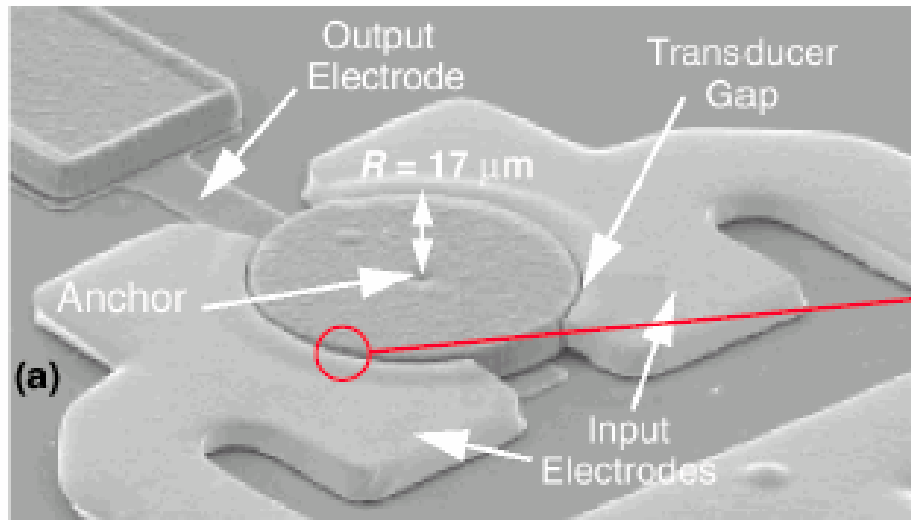


Fig. 2: Cross-section of the described sub-µm electrode-to-resonator gap process for lateral µstructures with metal electrodes.

- Advantages of lateral resonator
 - Wider variety of resonant modes
 - Balanced resonators (push-pull)
 - More design flexibility
- As frequency scales up
 - Resonator size shrinks
 - **Capacitive transducer gaps must also shrink** (to sub-100 nm for VHF)
 - High aspect ratio structures
- Combine Poly-Si (high-Q structural materials) with metal electrode (high conductivity)
 - Self-aligned process

Hsu, Clark, Nguyen, "A sub-micron capacitive gap process for multiple-metal-electrode lateral micromechanical resonators," MEMS 2001, p. 349

Radial Contour-Mode Disk μ -mechanical Resonator



Data:
 $R=17\mu\text{m}$, $h=2\mu\text{m}$
 $d=1,000\text{\AA}$, $V_p=35\text{V}$
 $f_0=156.23\text{MHz}$, $Q=9,400$

Fig. 5: SEM and measured frequency characteristic for a 156.23 MHz contour-mode disk μ mechanical resonator fabricated via the process of Fig. 3.

- Radial contour mode allows high resonant frequency without requiring sub-micron structures
- Place anchor at disk center – nodal point of contour mode
 → Reduce mechanic loss and increase Q

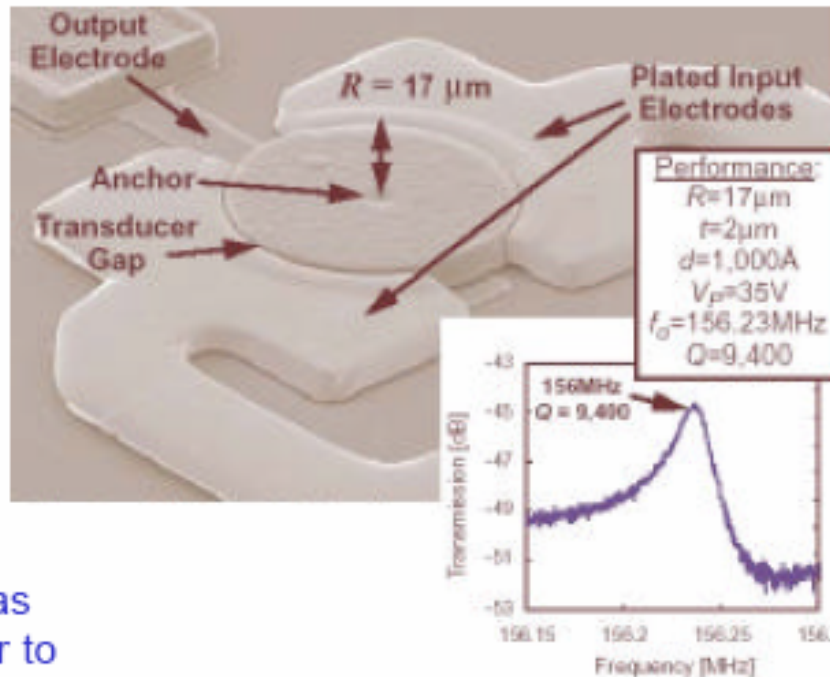
Hsu, Clark, Nguyen, "A sub-micron capacitive gap process for multiple-metal-electrode lateral micromechanical resonators," MEMS 2001, p. 349

Disk resonatorer

- Fordeler av disker framfor bjelker
 - Redusert luft-demping
 - Vakuum trengs ikke for måling av Q-faktor
 - Høyere stivhet
 - Frekvensen er høyere for gitte dimensjoner
 - Større volum
 - Høyere Q fordi mer energi er lagret
 - Mindre problemer med termisk støy
- Periferien av disken kan ha ulike bevegelsesmønstre

Increasing the Resonant Frequency

option 2. spring rate $\rightarrow \infty$



Clark Nguyen, Michigan

Motivation: keep mass as large as possible in order to improve precision of fab, power handling

IEEE IEDM 2000.

EE C245 – ME C218 Fall 2003 Lecture 27



Bulk contour-mode resonators

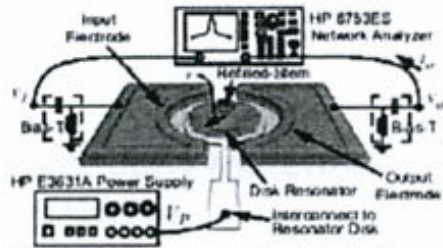
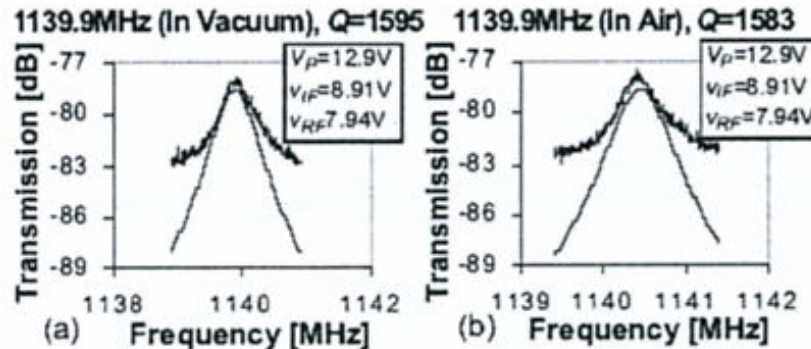
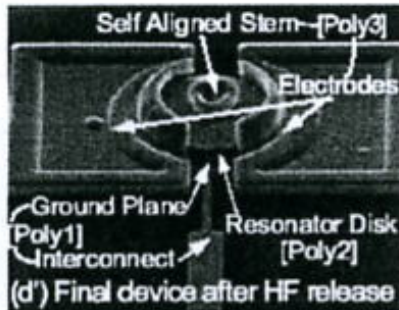


Fig. 1: Perspectives view schematic of a self-aligned disk resonator identifying key features and a two port measurement scheme.



- > 1GHz resonance frequency demonstrated
- Q > 1'500 in both vaccum and air
- Tcoeff ~-15ppm/°C

J. Wang et al, Transducers 2003.

- Bulk acoustic mode resonators / contour-mode disk resonators
- Frequency range: tens of kHz to GHz
- Quality factors > 10'000 for single crystal silicon demonstrated
- Further developments: process with nano-gaps → GHz frequency

1.14 GHz Poly-Si Disk Resonator

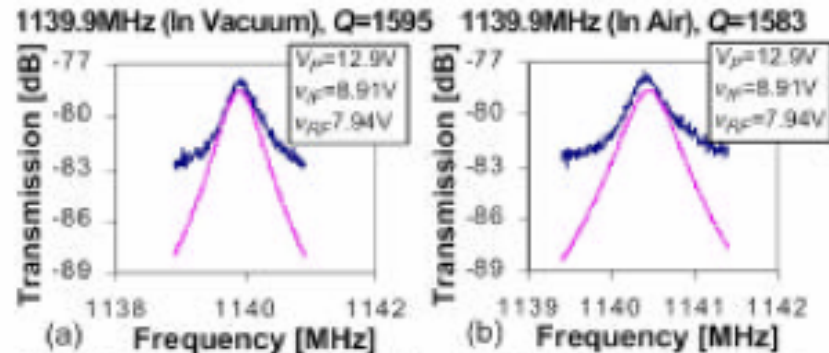
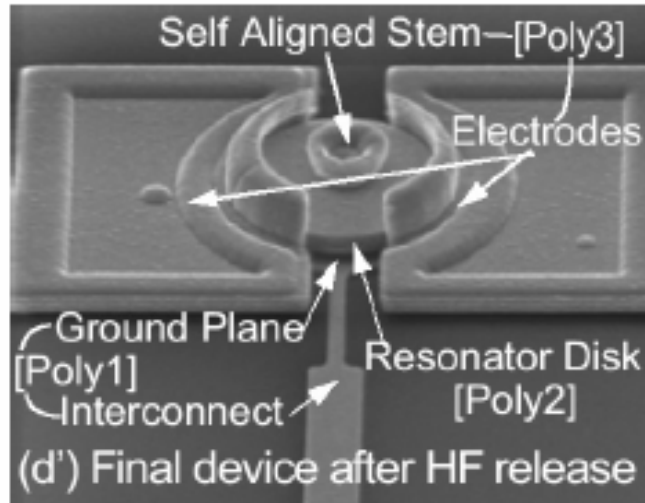


Fig. 7: Measured (dark) and predicted (light) frequency characteristics for a 1.14-GHz, 3rd mode, 20µm-diameter disk resonator measured in (a) vacuum and (b) in air, using a mixing measurement setup.

- * Note Q in vacuum and in air is the same: little energy loss to ambient; however, energy loss through anchor ("stem") is significant
- * EAM-like technique is used to extract the motional current.

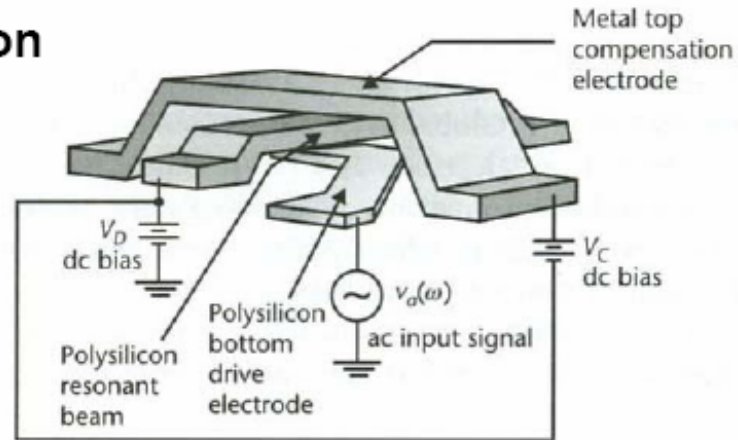
Begrensninger i mikromekaniske resonatorer

- Frekvens-begrensninger
 - Redusere m for å oppnå høyere frekvens
 - Vil gi fluktuasjoner i frekvensen
 - "mass loading": utveksling av molekyler mot omgivelsene
 - Luft-gass-molekyler utøver Brownske bevegelser (kraft)
- Energi-begrensninger
 - Q avhenger av energitap
 - Viskøs demping
 - Vertikal bevegelse: squeezed-film damping
 - Horisontal bevegelse: Stokes- eller Couette-type demping

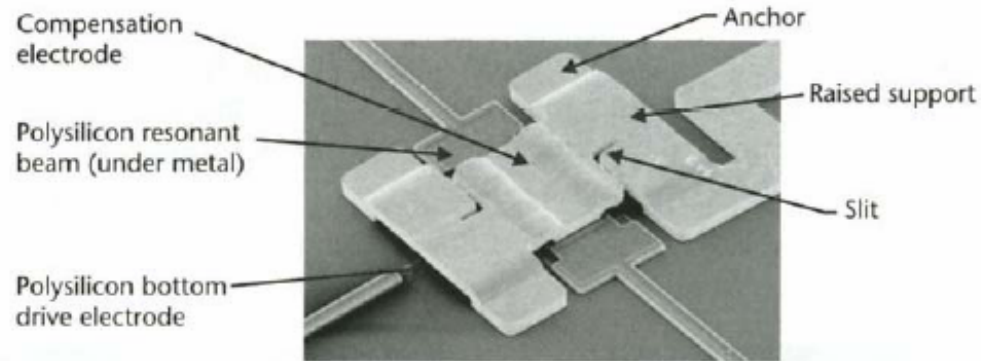
Begrensninger, forts.

- Temperaturavhengighet
 - Resonansfrekvensen endres pga. temperaturøkning og aldring
 - Økt temperatur fører til redusert frekvens
 - Analog eller digital kompensasjon (feedback)
 - Mekanisk kompensasjon
 - Benytte strukturer med deler som har både kompressivt og tensilt stress: motvirkende effekter

Temperatur-kompensasjon



(a)



(b)

Figure 7.11 Illustration of the compensation scheme to reduce sensitivity in a resonant structure to temperature. A voltage applied to a top metal electrode modifies through electrostatic attraction the effective spring constant of the resonant beam. Temperature changes cause the metal electrode to move relative to the polysilicon resonant beam, thus changing the gap between the two layers. This reduces the electrically induced spring constant opposing the mechanical spring while the mechanical spring constant itself is falling, resulting in their combination varying much less with temperature. (a) Perspective view of the structure [23], and (b) scanning electron micrograph of the device. (Courtesy of: Discera, Inc., of Ann Arbor, Michigan.)

Temperatur-kompensasjon, forts.

- Topp-elektroden reduserer effektiv fjærkonstant ved at V_c gir en elektrostatiske tiltrekning
- Topp-elektroden hever seg fysisk pga. temperaturøkning \rightarrow reduksjonen av fjærkonstanten blir mindre
- Generelt sett faller fjærkonstant-verdien med økende temperatur. Men reduksjonen blir mindre enn den skulle ha blitt pga. at topp-elektroden sin effekt avtar!